

обладают пространственной (т. н. орбитальной) и магнитной анизотропией, т. е. являются одновременно жидкими кристаллами и упорядоченными магнетиками. Последнее позволяет применять для исследования сверхтекучих фаз методы ЯМР (магн. момент атомов  $^3\text{He}$  сосредоточен в ядрах). Динамика ядерных магн. моментов сверхтекучих фаз и частоты продольного и поперечного ЯМР определяются ур-ниями Леггетта (A. Leggett, 1974).

Структура куперовских пар в фазах  $A$ ,  $B$  и  $A_1$  разная, поэтому сверхтекущие, магн. и жидкокристаллич. свойства этих фаз различны.

$A$ -фаза  $^3\text{He}$  обладает осью магн. анизотропии и осью орбитальной жидкокристаллич. анизотропии, характеризуемыми единичными векторами  $d$  и  $l$ . Векторы  $d$  и  $l$  являются осями квантования соответственно спинового и орбитального моментов импульса куперовских пар. Проекция спина пары  $S$  на ось  $d$  равна нулю, т. е. спины пар равновесно ориентированы в плоскости, перпендикулярной к  $d$ , так что ср. ядерный магн. момент у пары отсутствует и  $A$ -фаза является жидким одноосным антиферромагнетиком. Магн. восприимчивость  $A$ -фазы совпадает с магн. восприимчивостью нормального  $^3\text{He}$ . Проекция орбитального момента пары  $L$  на ось  $l$  равна 1, т. е. орбитальные моменты всех пар направлены по  $l$ . Куперовские пары частично вовлекают во вращат. движение электроны атомов, в результате  $A$ -фаза обладает небольшим электронным ферромагн. моментом ( $\sim 10^{-11}$  магнетонов Бора на атом), направленным вдоль  $l$ , и является жидким ферромагнетиком.

Направления осей  $d$  и  $l$  произвольны, т. е. состояния  $A$ -фазы вырождены по энергии относительно поворотов этих осей. Вырождение снимается внешн. магн. полем, ориентирующим  $d$  перпендикулярно полю; граничными условиями, ориентирующими  $l$  по нормали к границе; сверхтекучим потоком, ориентирующим  $l$  вдоль потока; слабым спин-орбитальным взаимодействием, ориентирующим  $l$  и  $d$  параллельно друг другу. Если ориентирующие взаимодействия конкурируют

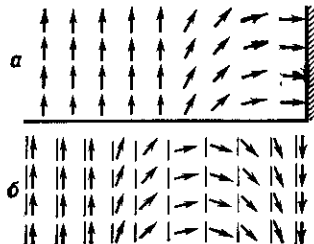


Рис. 5. Текстуры в  $A$ -фазе  $^3\text{He}$ : а — текстура близко к границе сосуда (магнитное поле перпендикулярно границе); б — топологически устойчивая текстура — солитон; линии со стрелками —  $l$ -вектор, линии без стрелок —  $d$ -вектор.

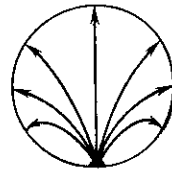
между собой, возникают текстуры: неоднородные в пространстве распределения полей  $l(r)$  и  $d(r)$  [на рис. 5, а изображена текстура  $l(r)$ , возникающая в магн. поле, перпендикулярно границе; поле  $l$  изображено стрелками]. Плавное изменение поля  $l$  в текстуре обеспечивается макроскопич. негерентностью, стремящейся сделать распределение однородным и приводящей к росту энергии при деформации поля. Текстуры могут существовать и в том случае, если они энергетически невыгодны, но не могут непрерывно исчезать в силу топологич. причин. На рис. 5, б изображена одна из таких текстур — топологический солитон, обнаруженный в  $A$ -фазе в экспериментах с ЯМР. В этой текстуре области параллельной и антипараллельной ориентаций векторов  $l$  и  $d$ , соответствующих минимуму энергии спин-орбитального взаимодействия, разделены областью неоднородного распределения  $l$  и  $d$  (областью солитона), где ориентация  $l$  относительно  $d$  меняется на противоположную. Солитон приводит к дополнит. резонансному пику поглощения в ЯМР, возникающему из-за возбуждения локализованных на солитоне спиральных волн. Классификация всех возможных топологически устойчивых

структур в сверхтекучих фазах  $A$ ,  $B$  и  $A_1$  и др. упорядоченных средах осуществляется методами гомотопич. топологии.

Текстуры вектора  $l$  существенно влияют на сверхтекущие свойства  $A$ -фазы. Если поле  $l$  однородно, сверхтекучесть  $A$ -фазы описывается обобщённой двухжидкостной моделью Ландау, учитывающей орбитальную анизотропию. Сверхтекущие свойства оказываются анизотропными: плотность сверхтекущего компонента является одноосным тензором  $\rho_s^{ik} = \rho_s \delta^{ik} - \rho_0 \bar{u}^i \bar{u}^k$  ( $\rho_0 = \rho_s/2$  при  $T \rightarrow T_c$  и  $\rho_0 \rightarrow 0$  при  $T \rightarrow 0$ ); скорость четвёртого звука и затухание первого звука зависят от направления их распространения. Последнее позволяет исследовать текстуры вектора  $l$  по данным о затухании ультразвука в  $A$ -фазе в зависимости от направления его распространения.

В присутствии текстур сверхтекущие свойства  $A$ -фазы резко меняются: сверхтекущее течение перестаёт быть потенциальным, циркуляция сверхтекущей скорости по замкнутому контуру ( $\oint v_s dr$ ) в текстуре не квантуется и зависит от выбора контура интегрирования [Н. Д. Мермин (N. D. Mermin), Т. Л. Хо (T. L. Ho), 1977]. Это приводит, во-первых, к существованию вихрей с непрерывно распределённой завихрённостью ( $\text{rot } v_s$ ), которые тем не менее отличаются от вихрей в нормальной жидкости своей топологич. устойчивостью. Эти вихри были обнаружены методом ЯМР во вращающемся сосуде по дополнит. пику поглощения. Во-вторых, в отличие от  $\text{He II}$ , макроскопич. поток сверхтекущего компонента при течении по каналу (трубке) может непрерывно изменяться (диссилировать за счёт трения и перехода кинетич. энергии в теплоту), вызывая пространственно-временные осцилляции поля  $l$  (их наблюдали в экспериментах с распространением ультразвука). Этот периодич. процесс является аналогом нестационарного Джозефсона эффекта в сверхпроводниках. На поверхности канала, где вектор  $l$  фиксирован, пристеночный слой сверхтекущего компонента может испытывать торможение за счёт рождения поверхностных квантованных вихрей — буджумов (струн в точке вихрей), обладающих

Рис. 6. Текстура вектора  $l$  в сферическом сосуде с гелием (случай незатухающего сверхтекущего движения). Точечная особенность в векторном поле  $l$  на поверхности сосуда — буджум с  $N=2$ .



чётным числом  $N$  квантов  $K = h/m$  циркуляции сверхтекущей скорости по контуру, лежащему в плоскости стекни, где  $m = 2m_3$  — масса бозона (двух атомов  $^3\text{He}$ ). В-третьих, в сосудах определ. формы, напр. в сферических, всегда, даже в осн. состояний, имеется циркуляционное сверхтекущее движение, вызываемое образующейся в этом сосуде текстурой (рис. 6). Это движение обладает моментом импульса и может быть обнаружено по гирроскопич. эффекту.

Уникальность сверхтекучих свойств  $A$ -фазы — следствие специфич. спонтанного нарушения симметрии. Состояния  $A$ -фазы не инвариантны относительно калибровочного преобразования, а также относительно пространственных и спиновых вращений, однако они инвариантны относительно определ. комбинации этих преобразований: калибровочное преобразование + поворот вокруг оси  $l$ . В результате сверхтекущие свойства, являющиеся следствием нарушения калибровочной симметрии, оказываются связанными с жидкокристаллич. свойствами, возникающими из-за нарушения симметрии относительно пространственных поворотов. Комбинированная инвариантность приводит также к возможности существования в  $A$ -фазе вихрей с полуцелым числом квантов циркуляции. В  $B$ -фазе